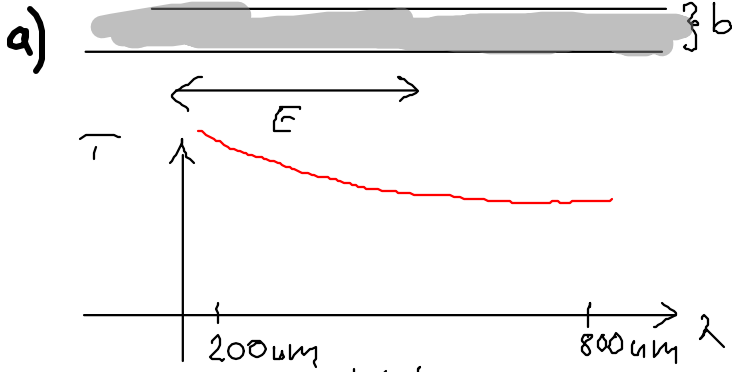


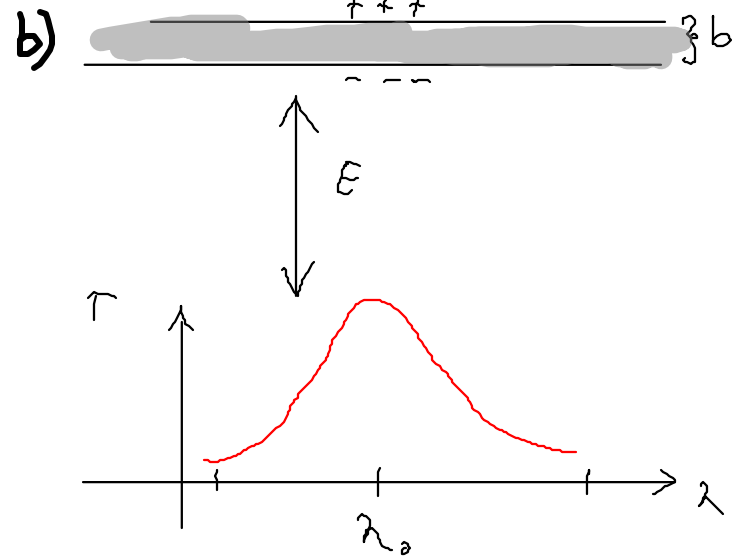
Kolloidale Teilchen

- Dispersionsfarbe transparente Teilchen
 \Rightarrow durch Streuung \Rightarrow Farbe
- Milchteilchen
- Metallische Teilchen

Streuung an Leiterbahnen



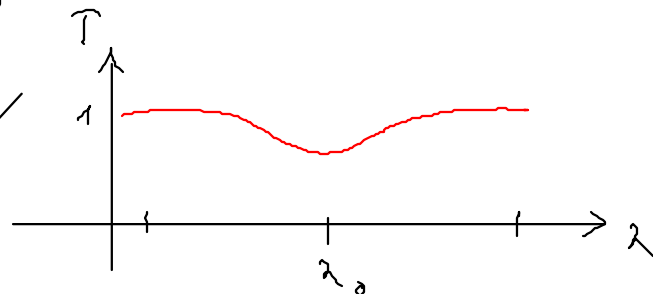
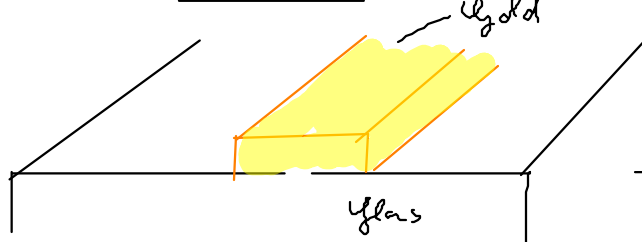
Breite des Films
 \Rightarrow 1D Streuung
 T: Transmission



induzierter Dipol
 Resonanz bei λ_0

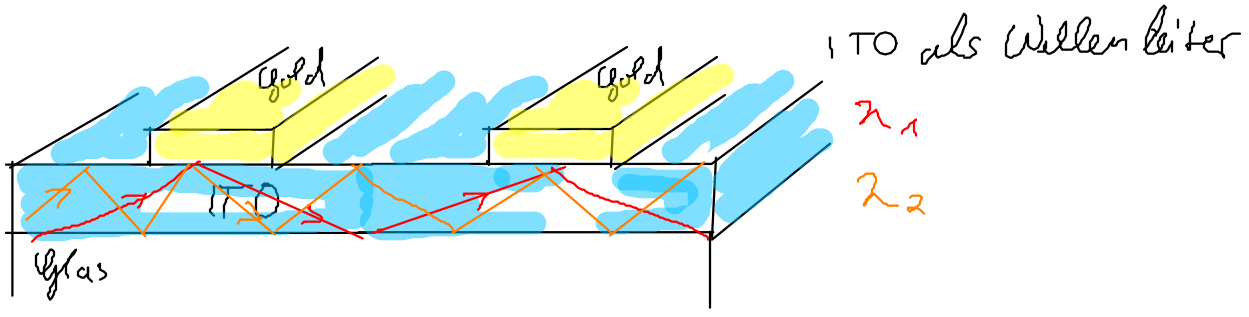
Plasmonische Kristalle

Perfektor (im Fernfeld)

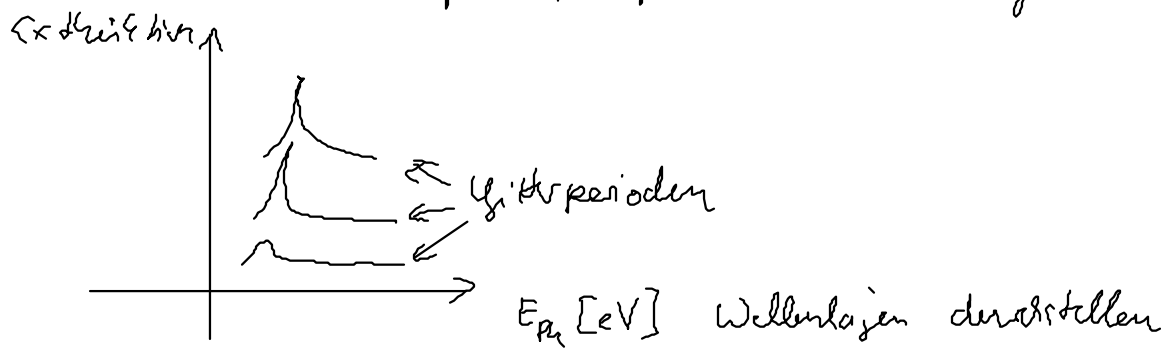


Polarisation \updownarrow $\vec{E} \parallel$ Goldstreifen
 TE (transversal elektr.)

\updownarrow $\vec{E} \perp$ Goldstreifen
 TM (transversal magnetisch)



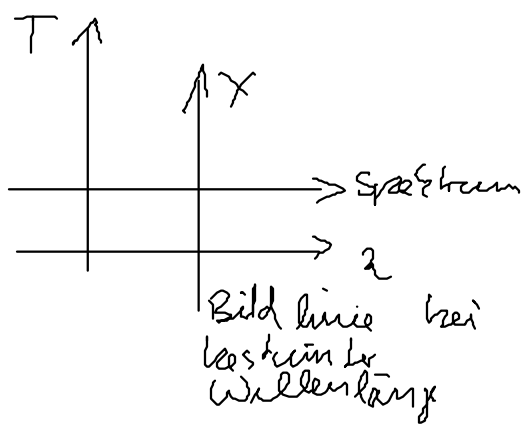
- Fernfeld eigenschaften: ($n = \text{fest}$, Gitterperiode variabel, unipol. Quelle)
 Abstand der Goldstreifen \Rightarrow unterschiedl. Absorptionskurven
 Extinction: alles was im Detektor nicht erkannt wird
 Adsorption, Reflexion, Streuung



• Nahfeld

TE - Polarisation

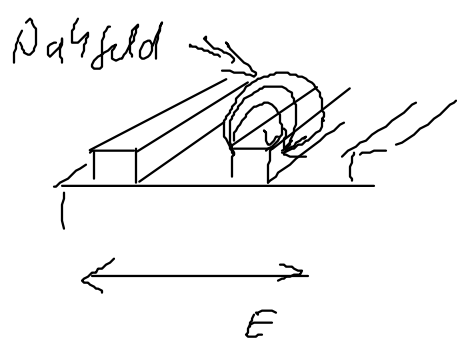
- Resonanz bei Gitterperiode 550 nm



- Resonanz bei Gitterperiode 400 nm

TM - Polarisation

- Resonanz



\Rightarrow Bessere Auflösung als in Fourier Abbe

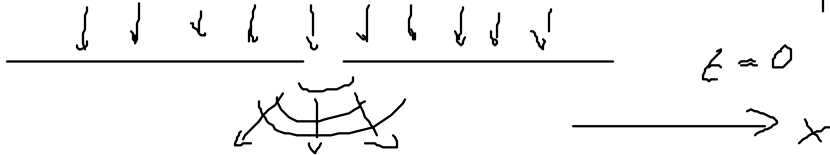
Auflösungsvermögen

_____ ● _____ $z=0$

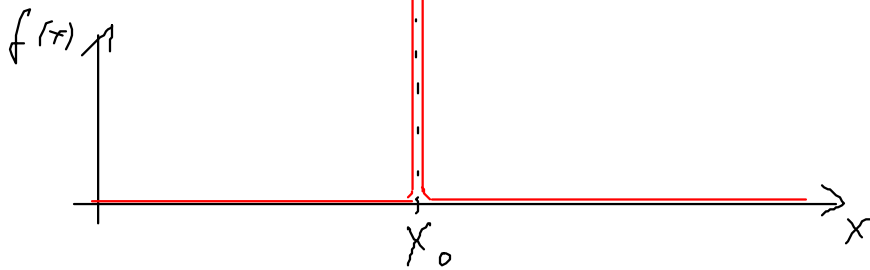
_____ $z=z_0$

Beispiel:

- Metallstreifen mit Loch als Punktlichtquelle

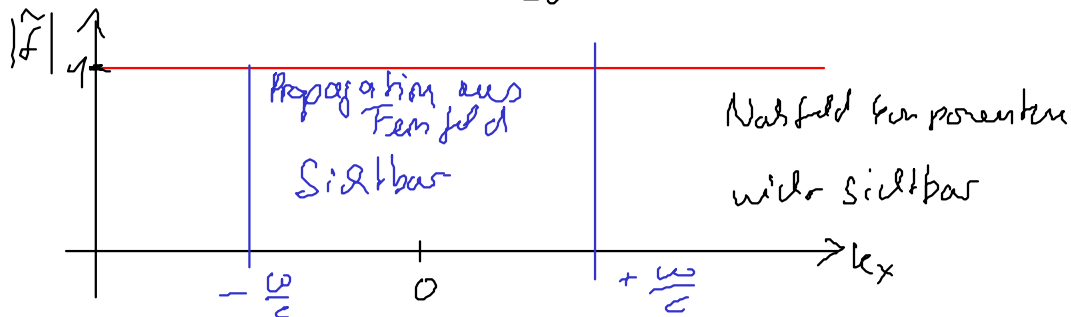


- Ortsraum



Intensität: $f(x) = \delta(x - x_0)$

Fouriertrajfō: $\tilde{f}(k_x) = \int_{-\infty}^{\infty} \delta(x - x_0) e^{ik_x x} dx = e^{ik_x x_0}$



- maximale Auflösung beschränkt durch

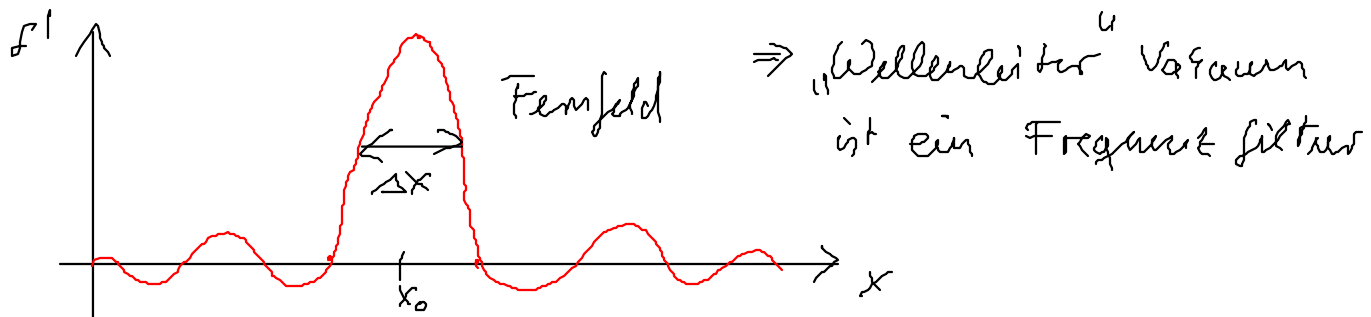
Dispersionsrelation des Lichtes: $|k| = \frac{\omega}{c}$

Klassisches Mikroskop

$k_x = |\mathbf{k}| \sin \theta$

$$f(x) = \int_{-\frac{\omega}{c}}^{\frac{\omega}{c}} e^{ik_x x_0} e^{-ik_x x} dx \quad (\text{Reichttransformation})$$

$$= 2 \cdot \frac{\sin\left(\frac{\omega \sin \theta (x - x_0)}{c}\right)}{x - x_0}$$



$$\Delta x = \frac{\lambda}{2 \sin \theta} \Rightarrow \text{maximale Auflösung (Rayleigh Limit)}$$

- je kleiner das Loch desto größer Δx

Dekohärenz zentraler Wellen

- $E_1(x, z=0) = E_0(x_0, z=0) \cdot C(x, -L, +L)$
 \hookrightarrow eingestrahlt Welle Rechteckfunktion

- Fourier Zerlegung in ebene Wellen

$$\begin{aligned} \tilde{E}_1(k_x, z=0) &= \int_{-\infty}^{\infty} dx C(x, -L, +L) \cdot E_0(x_0, z=0) e^{ik_x x} \\ &= \int_{-L}^L dx E_0 e^{ik_x x} \sim E_0 \frac{\sin k_x L}{k_x L} \end{aligned}$$

- Rücktransformation

$$E_1(x, z=0) = \int_{-\infty}^{\infty} dk_x e^{-ik_x x} \tilde{E}_1(k_x, z=0)$$

Zur Abstand $z=z_0$ ist dann

$$E_d(x, z=z_0) = \int_{-\infty}^{\infty} dk_x e^{-ik_x x} \tilde{E}_1(k_x, z=0) e^{-ik_z z_0}$$

mit $|k|^2 = k_x^2 + k_z^2$ $k_z = \sqrt{k^2 - k_x^2}$ $k = \frac{\omega}{c}$

nur propagierende Wellen

- im Fernfeld

$$E_d(x, z=z_0) = \int_{-\frac{\omega}{c}}^{\frac{\omega}{c}} dk_x e^{-ik_x x} e^{-i\sqrt{k^2 - k_x^2} z_0} \frac{\sin(k_x L)}{k_x L}$$

Annahme: bei $z=\epsilon$ ist Apertur gegeben durch $C(x, -l, +l)$

$$E_2(x, z=\epsilon) = \int_{-\infty}^{\infty} dk_x e^{-ik_x x} \tilde{E}_1(k_x, z=0) e^{-i\sqrt{k^2 - k_x^2} \epsilon}$$

- Direkt hinter der Apertur ist

$$E_3(x, z=\epsilon) = E_2(x, z=\epsilon) \cdot C(x, -l, +l)$$

• Das Fernfeld bei $z=z_0$ hinter der 2. Apertur wird daher

$$E_{el}(x, z=z_0) = \int_{-\frac{\omega}{2}}^{\frac{\omega}{2}} dx e^{-ik_x x} e^{-i\sqrt{k^2 - k_x^2}(z_0 - z)} \cdot \int_{-\infty}^{\infty} dk'_x \tilde{E}_1(k'_x, z=0) e^{-i\sqrt{k^2 - k_x'^2} z}$$

$$\cdot 2 \frac{\sin((k_x - k'_x)l)}{(k_x - k'_x)l}$$